## СПИСОК ЛИТЕРАТУРЫ

- 1. Федоров С.Г., Гусейнов Ш.Л., Стороженко П.А. Нанодисперсные порошки металлов в энергетических конденсированных системах. Российский электронный наножурнал. 2010. URL: http://issuu.com/tan130/docs/rn\_2010\_t5\_n9-10?viewMode=magazine (дата обращения: 19.09.2011).
- Ильин А.П., Проскуровская Л.Т. Окисление алюминия в ультрадисперсном состоянии на воздухе // Порошковая металлургия. – 1990. – № 9. – С. 32–34.
- Tepper F., Ivanov G., Lerner M., Davidovich V. Energetic formulations from nanosize metal powders // Proceedings of the International Pyrotechnics Seminar, 24th. N.Y., 1998. P. 519–530.
- Проскуровская Л.Т., Ильин А.П. Сорбированный и химически связанный кислород в УДП алюминия // Межвузовский сб. научных трудов: Физико-химия ультрадисперсных порошков. Ч. 1. – Томск: НИИ ВН при ТПИ, 1990. – С. 37–40.
- Гурвич Л.В., Карачевцев Г.В., Кондратьев В.Н. и др. Энергии разрыва химических связей. Потенциалы ионизации и сродство к электрону. Справочник / под ред. В.Н. Кондратьева. – М.: Наука, 1974. – 351 с.
- 6. Ормонт Б.Ф. Введение в физическую химию и кристаллохимию полупроводников. М.: Высшая школа, 1968. 487 с.
- 7. Ильин А.П., Громов А.А. Горение алюминия и бора в сверхтонком состоянии. — Томск: Изд-во ТГУ, 2002. — 154 с.
- Ляшко А.П., Ильин А.П., Савельев Г.Г. Модифицирование субмикронных порошков алюминия // Журнал прикладной химии. – 1993. – Т. 66. – № 6. – С. 1230–1233.
- 9. Перекос А.Е., Рудь А.Д., Седой В.С. Структура малых металлических частиц, синтезируемых электроразрядными методами

- // В сб.: Синтез наноразмерных материалов при воздействии мощных потоков энергии на вещества / под ред. А.В. Булгакова, Н.М. Булгакова, И.М. Буракова и др. Новосибирск: Институт теплофизики СО РАН, 2009. С. 399—444.
- Азаркевич Е.И., Ильин А.П., Тихонов Д.В., Яблуновский Г.В. Электровзрывной синтез ультрадисперсных порошков сплавов и интерметаллических соединений // Физика и химия обработки материалов. – 1997. – № 4. – С. 85–88.
- Bennet F.D. High-temperature Exploding Wires // Progress in High-temperature Physics and Chemistry. – N.Y.: Pergamon Press. – 1968. – V. 2. – P. 1–63.
- Ильин А.П., Яблуновский Г.В., Громов А.А. Об активности порошков алюминия // Физика горения и взрыва. 2001. Т. 37. № 4. С. 58–62.
- Назаренко О.Б. Электровзрывные нанопорошки: получение, свойства, применения. – Томск: Изд-во ТГУ, 2005. – 148 с.
- Громов А.А., Хабас Т.А., Ильин А.П. и др. Горение нанопорошков металлов / под ред. А.А. Громова. – Томск: Дельтаплан, 2008. – 382 с.
- Ильин А.П. Развитие электровзрывной технологии получения нанопорошков в НИИ высоких напряжений при Томском политехническом университете // Известия Томского политехнического университета. – 2003. – Т. 306. – № 1. – С. 133–139.
- Турова Н.Я. Справочные таблицы по неорганической химии / под ред. Н.С. Тамм. – Л.: Химия, 1977. – С. 70–71.

Поступила 09.08.2011 г.

УДК 546.82:539.374.2/6:66.094.3-926-217:543.573

# ОСОБЕННОСТИ ОКИСЛЕНИЯ СУБМИКРОКРИСТАЛЛИЧЕСКОГО ТИТАНА ПРИ НАГРЕВАНИИ В ВОЗДУХЕ

А.В. Коршунов, А.П. Ильин, А.И. Лотков\*, И.В. Раточка\*, Т.П. Морозова, О.Н. Лыкова\*

Томский политехнический университет \*Институт физики прочности и материаловедения СО РАН, г. Томск E-mail: korshunov@tpu.ru

Исследован процесс окисления в воздухе образцов титана с субмикрокристаллической структурой (средний размер элементов зеренно-субзеренной структуры 0,46 и 0,15 мкм), полученных методом пластической деформации. Показано, что в условиях деформационного воздействия в титане возрастает содержание растворенного кислорода, приводящего к стабилизации  $\alpha$ -фазы и смещению температуры полиморфного перехода  $\alpha$ -Ti— $\beta$ -Ti в область более высоких температур. При линейном нагреве в воздухе наблюдается немонотонное изменение скорости прироста массы образцов, связанное с неравномерным характером роста зерен и миграции границ. По результатам изучения кинетики окисления Ti в изотермических условиях в интервале 600...800 °C показано, что процесс протекает в диффузионном режиме вследствие формирования на поверхности металла плотного оксидного слоя. С уменьшением среднего размера зерна в образцах происходит понижение эффективной энергии активации процесса окисления Ti в данном температурном интервале, независимо от структуры металла является TiO $_2$ -рутил.

## Ключевые слова:

Титан, интенсивная пластическая деформация, субмикрокристаллическая структура, окисление, термогравиметрия.

## Kev words:

Titanium, severe plastic deformation, submicrocrystalline structure, oxidation, thermogravimetry.

## Введение

Перспективы применения титана и его сплавов с мелкозернистой и субмикрокристаллической структурой связаны с улучшением ряда физикомеханических характеристик (увеличение прочно-

сти с сохранением пластичности) по сравнению с крупнозернистыми материалами. Известно, что перевод металла в субмикрокристаллическое состояние за счет различного вида деформационных воздействий сопровождается возрастанием доли

межзеренных границ и степени их неравновесности, увеличением концентрации дефектов и напряжений в теле зерна. Эти факторы, в свою очередь, способствуют понижению стабильности сформированной структуры и повышению реакционной способности металлов, что в итоге приводит к появлению определенных ограничений в отношении использования металлических изделий с субмикрокристаллической структурой. В связи с этим исследование влияния особенностей структуры металлов на их физико-химические свойства представляет интерес как с фундаментальной, так и с прикладной точек зрения.

Известно, что при взаимодействии титана с кислородом возможно образование большого числа продуктов: твердых растворов (до 16,67 мас. % О, включают структуры упорядочения  $Ti_6O$ ,  $Ti_2O$ ,  $Ti_2O$ ); низших оксидов TiO,  $Ti_2O_3$ ,  $Ti_3O_5$ ; многочисленных смешанных оксидных фаз состава  $Ti_nO_{2n-1}$  (фазы Магнели); высшего оксида TiO<sub>2</sub> [1]. Все указанные фазы являются нестехиометрическими. При низких температурах (~20 °C) на поверхности Ті формируется рентгеноаморфная защитная оксидная пленка (~3 нм [2]), по составу близкая к  $TiO_2$  [3]. При повышении температуры до ~600 °C происходит возрастание скорости диффузии кислорода, при этом его концентрация в поверхностных слоях металла увеличивается, а на границе металл/оксид – уменьшается [3, 4]. Вследствие этого в оксидном слое в зависимости от температуры и продолжительности нагрева фиксируются низшие оксиды  $Ti_3O_5$ ,  $Ti_2O_3$ , TiO[3, 4], образование которых можно наблюдать визуально в виде цветов побежалости оксидной пленки от желтого до фиолетового.

При t > 600 °C на поверхности металла формируется многослойная окалина, в которой по морфологическому признаку можно выделить три основных слоя [5-7]: внешний - состоит из большого числа тонких подслоев (до двухсот); средний мелкозернистый, компактный; внутренний крупнозернистый, пористый. Единого мнения о составе слоев в литературе нет. В [6] указывается, что внутренний и внешний слои окалины по составу близки к  $TiO_2$  (рутил), состав среднего отклоняется от стехиометрии. В [8-10] показано, что в интервале 600...800 °C на поверхности Ті формируется слой рутила. При значительной толщине окалины средний подслой по составу приближается к  $Ti_2O_3$ , состав слоя на границе металл/оксид может соответствовать ТіО [11]. Из данных [5] следует, что в условиях высокотемпературного окисления фаза TiO диспропорционирует с образованием TiO<sub>2</sub> и дисперсных включений Ti, которые далее подвергаются окислению с формированием слоистой структуры. Парциальное давление кислорода  $P_0$ , не оказывает заметного эффекта на соотношение толщины подслоев в оксидном слое; увеличение  $P_{0}$ , способствует уменьшению размера кристаллитов оксидов [2, 6].

При повышении температуры до 800 °C между слоями окалины наблюдается образованию пор

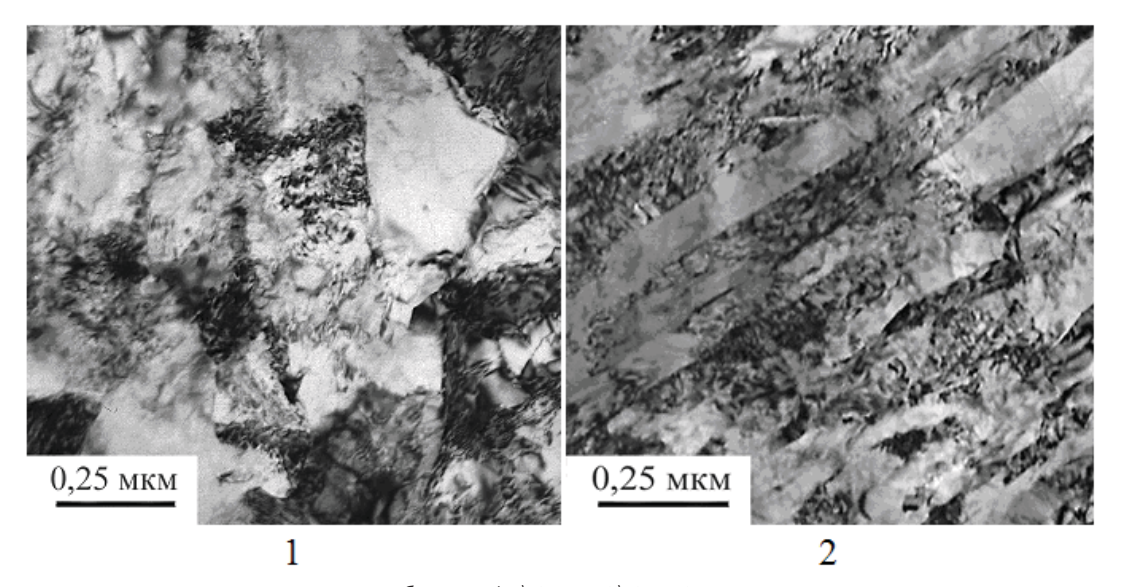
и пустот, при более высоких температурах окалина теряет свою защитную функцию, что приводит к существенному увеличению скорости взаимодействия Ті с кислородом. Одной из причин увеличения скорости реакции при дальнейшем повышении температуры также может являться полиморфный переход  $\alpha$ -Ti $\rightarrow \beta$ -Ti при 882 °C [12]. С другой стороны, по мнению [13] при высоких температурах окисление Ті в воздухе замедляется вследствие образования тонкого слоя нитрида на границе металл/оксид. Напротив, в [11] указывается, что при t > 1000 °C внедрение атомов азота в решетку рутила оказывает ускоряющее действие на процесс окисления. Необходимо отметить, что сведения об образовании фаз нитридов в продуктах окисления компактного титана при нагревании в воздухе в литературе отсутствуют.

Принято считать [2], что при формировании на поверхности Ті плотного слоя ТіО<sub>2</sub> (полупроводник п-типа) лимитирующей стадией процесса окисления металла является диффузия анионов в слое оксида к поверхности металла. Вместе с тем, протекание процесса в диффузионном режиме реализуется в узком интервале температур (~600...800 °C [2]). Данные по кинетике окисления Ті при других температурах противоречивы. При t<500 °C скорость роста оксидного слоя, по [11], описывается логарифмической зависимостью, согласно [10] – обратно-логарифмической. Для области 500...600 °C в [2] указывается кубическая зависимость, в [10] - линейно-параболическая, в [11] - параболическая. Для более высоких температур окисление титана описывается параболической зависимостью, которая при большой продолжительности нагрева (несколько часов) может сменяться линейной [2, 8, 11].

Таким образом, имеющиеся в литературе результаты изучения кинетики и механизма процесса окисления титана зачастую не согласуются между собой. Данные по исследованию влияния структуры титана на закономерности его окисления отсутствуют. В связи с этим целью настоящей работы являлось установление зависимости кинетических параметров процесса окисления титана при нагревании в воздухе от структурных характеристик пластически деформированного металла.

## Материалы и методы исследования

В работе использовали технически чистый титан ВТ1-0 с крупнозернистой (КЗ) и субмикрокристаллической (СМК) структурой. Для получения СМК структуры заготовки исходного КЗ образца (прутки Ø20×50 мм) подвергали пластической деформации путем прессования со скоростью порядка 10<sup>-3</sup> с<sup>-1</sup> в условиях ступенчатого понижения температуры в интервале 800...350 °С в атмосфере воздуха [14]. Каждый температурный этап деформации включал многократное проведение операций осадки на 50 % со сменой оси деформирования заготовки. Число переходов при каждой температуре определялось необходимостью получения достаточно однородной структуры [14]. Часть заготовок



**Рис. 1.** Микрофотографии структуры образцов Ті: 1) СМК-1; 2) СМК-2

после всестороннего прессования прокатывали при температуре 20 °C в ручьевых валках квадратного сечения. Степень деформации при этом составляла 65 % по толщине. В ряде контрольных экспериментов использовали промышленный порошок Ті ПТМ (средний размер частиц ~35 мкм).

Элементный состав образцов изучали с использованием атомно-эмиссионной спектроскопии (АЭС, iCAP 6300 Duo). Структуру металла исследовали при помощи просвечивающего электронного микроскопа (ПЭМ) ЭМ-125 К, размеры элементов зеренносубзеренной структуры определяли по темнопольному изображению. Фазовый состав исходных образцов и продуктов их окисления при нагревании в воздухе определяли методом рентгенофазового (РФА) анализа (дифрактометр Shimadzu XRD 6000, Fe<sub>ка</sub>-излучение). Кристаллические фазы идентифицировали с использованием базы данных PDF-2.

Параметры процесса окисления Ті при нагревании в сухом воздухе определяли методом дифференциально-термического анализа (ДТА) с применением термоанализатора SDT Q 600. Нагрев навесок ( $m_0$ =10...30 мг) образцов Ті в компактном и порошкообразном состоянии проводили до t=1200 °C в открытых алундовых тиглях вместимостью 90 мкл при линейно возрастающей температуре печи со скоростью  $v_i$ =10 К/мин, а также в изотермических условиях. Объемная скорость потока воздуха  $v_{возд}$  через рабочую зону печи составляла 100 мл/мин. Изменение массы образцов регистрировали с точностью до 1 мкг, точность измерения температуры по ДТА составляла 0,001 К.

## Результаты и их обсуждение

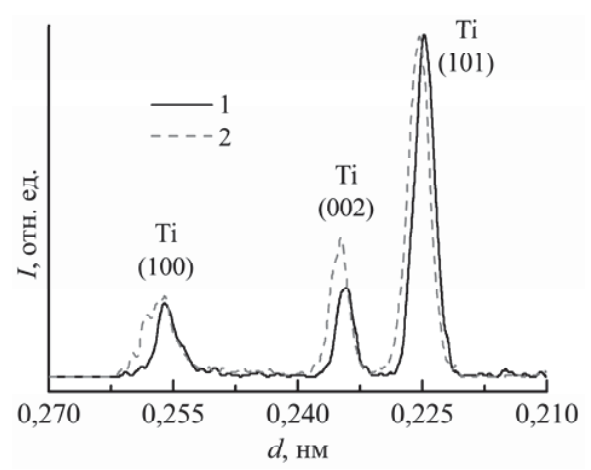
В условиях пластической деформации из исходного Ті с крупнозернистой структурой (КЗ, средний размер зерна 15 мкм) были получены два образца с субмикрокристаллической структурой: СМК-1 со средним размером зеренно-субзеренной структуры 0,46 мкм после всестороннего прессования;

СМК-2 со средним размером зеренно-субзеренной структуры 0,15 мкм после всестороннего прессования и дополнительной холодной прокатки. Судя по данным АЭС, среднее содержание примесей (Fe, Ni, Cu, Cr, Mn, Al, Si) в ходе деформационного воздействия в исследуемых образцах практически не изменяется и соответствует содержанию таковых в образце поставки ВТ1-0. Структура СМК-1 представлена равноосными кристаллитами (рис. 1) с широким распределением по размерам (0,1...1,8 мкм); для СМК-2 характерно намного более узкое распределение по размерам (0,1...0,4 мкм) с преимущественно вытянутой вдоль оси прокатки формой зерен (рис. 1). Изображения СМК структуры, полученные при помощи ПЭМ, позволяют выявить сложный деформационный контраст зеренно-субзеренных элементов, свидетельствующий о высокой степени неравновесности структуры металла, формирующейся в процессе интенсивной пластической деформации.

По данным РФА основной кристаллической фазой исследуемых образцов является α-Ті с ГПУ решеткой, фазы оксидов не зафиксированы. Характер изменения ширины и формы максимумов на рентгенодифрактограммах, в особенности для малых углов (рис. 2) свидетельствует о значительном увеличении дефектности структуры образца СМК-2 вследствие деформирования с применением холодной прокатки. Для этого образца также наблюдается повышение интенсивности отражений (002) что согласуется с данными ПЭМ о преимущественной текстурной ориентации зерен (рис. 1, 2).

Анализ рентгенодифрактограмм показал, что уменьшение среднего размера элементов зеренносубзеренной структуры образцов приводит к смещению максимумов отражений в сторону увеличения межплоскостных расстояний d за счет увеличения параметра решетки Ti (рис. 2), что обусловлено повышением напряженности структуры металла. Кроме того, увеличение параметра также

связано с формированием  $\alpha$ -фазы с повышенным содержанием растворенного кислорода, отжиг исследуемых субмикрокристаллических образцов при 600 °C в течение 1 ч при давлении  $10^{-3}$  Па не приводил к существенному уменьшению d до уровня стандарта. Для образца СМК-2 величина  $\Delta d$  в среднем составляет 0,3 % относительно стандартной. Необходимо отметить, что увеличение содержания растворенного кислорода в Ті с СМК структурой может являться одной из причин повышения микротвердости материала [9, 15]. Действительно, для твердого раствора состава  $Ti_6O$  (5,56 мас. % O) микротвердость равна 5399,85 МПа [16], что превышает таковую для K3 ВТ1-0 более чем в 2 раза.

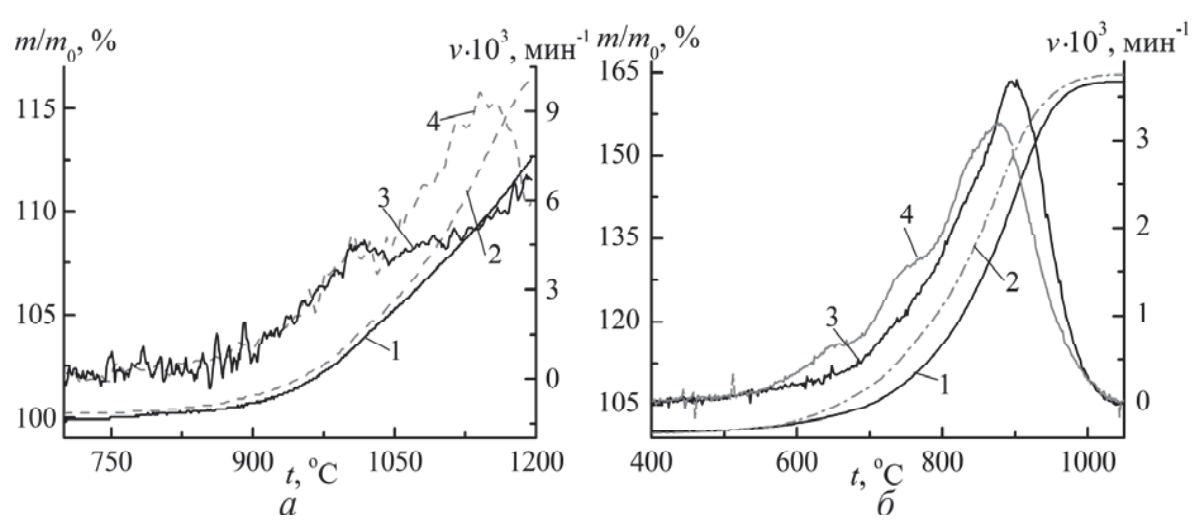


**Рис. 2.** Рентгенодифрактограммы порошкообразных образцов Ті с субмикрокристаллической структурой: 1) CMK-1; 2) CMK-2

Из данных ДТА следует, что в условиях нагрева в воздухе образцы Ті в зависимости от их структуры и состояния (компактное, порошкообразное) проявляют различную активность в отношении процесса окисления (рис. 3). Значения температуры начала окисления  $t_{\rm H}$  образцов в компактном состоянии близки и составляют ~770 °C, вплоть до темпе-

ратуры ~930 °C скорость процесса незначительна, выше этой температуры скорость реакции возрастает. При уменьшении среднего размера зерна исследуемых образцов в одинаковых условиях линейного нагрева до 1200 °C происходит увеличение массы в интервале 11...16 %. Данные термогравиметрии (ТГ, ДТГ) свидетельствуют о немонотонном изменении скорости прироста массы пластически деформированных образцов с повышением температуры (рис. 3, *a*): в интервале 900...1000 °С скорость окисления компактных образцов увеличивается, далее до *t*≈1040 °C происходит замедление процесса, сменяющееся периодом возрастания интенсивности протекания окисления. Значения  $v_{\max,1}$  при 1010 °C для образцов КЗ и СМК-2 близки  $(0,0046 \text{ мин}^{-1});$  при t > 1040 °C скорость окисления  $\dot{\text{CMK-2}}$  значительно возрастает, величина  $v_{\text{max,2}}$  составляет 0,0096 мин<sup>-1</sup>и приходится на 1145 °C. Образец СМК-1 в интервале 1070...1130 °С окисляется с относительно постоянной скоростью, переход во вторую стадию наблюдается при более высоких температурах. При t > 1050 °C скорость окисления КЗ образца практически не изменяется, дальнейший рост температуры способствует более интенсивному протеканию процесса.

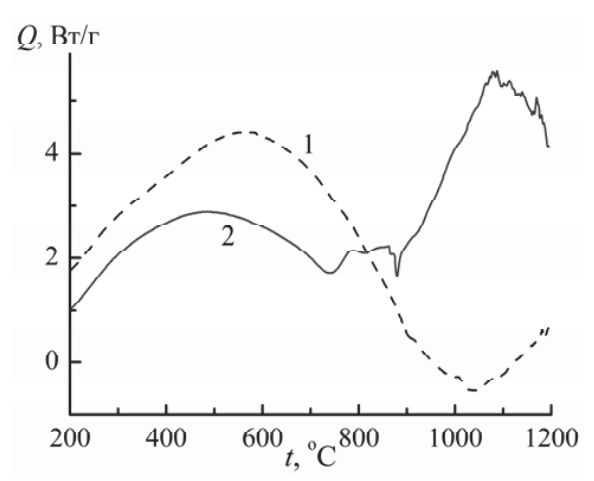
Температурный интервал процесса окисления исследуемых образцов Ті в порошкообразном состоянии смещается в область более низких температур на ~300° (рис. 3). Величина  $t_{\rm H}$  для пластически деформированных образцов несколько ниже, чем для K3, причем степень понижения  $t_{H}$  коррелирует со средним размером зерна. Для СМК Ті (в особенности для СМК-2) на ДТГ-зависимостях также наблюдаются участки немонотонного возрастания скорости процесса окисления (рис. 3, б), для которых величины  $v_{\rm max}$  и  $\Delta m/m_0$  сопоставимы с соответствующими величинами, характеризующими окисление этих образцов в компактном состоянии (рис. 3, а). С увеличением степени деформации образцов титана происходит понижение температуры максимума на кривых ДТГ от 900 до



**Рис. 3.** Зависимости ТГ (1, 2) и ДТГ (3, 4) компактных (а) и порошкообразных (б) образцов Ті в условиях линейного нагрева в воздухе ( $m_0$ =10 мг,  $v_i$ =10 К/мин,  $v_{\text{возд}}$ =100 мл/мин): 1, 3) К3; 2, 4) СМК-2

874 °C и одновременно уменьшение значения  $\nu_{\text{max}}$  от 0,036 до 0,032 мин<sup>-1</sup>, что можно объяснить большей интенсивностью окисления пластически деформированных образцов на начальном этапе процесса и последующим снижением скорости по сравнению с K3 образцом (рис. 3,  $\delta$ ).

Хотя линейный нагрев компактных образцов Ті до температуры ~770 °C не сопровождается изменением массы (рис. 3, a), данные ДТА свидетельствуют о протекании в этом температурном интервале процессов с выделением теплоты: для зависимостей ДТА характерен широкий максимум при  $t_{\text{max}} \approx 570 \, ^{\circ}\text{C}$ (рис. 4). Для сравнения на рис. 4 приведена зависимость Q=f(T) для промышленного порошка Ті ПТМ, на которой присутствует менее выраженный экзоэффект с максимумом при более низкой температуре (500 °C). Значения  $t_{H}$  для ПТМ и компактных СМК образцов близки. Кроме того, характерной особенностью ДТА для СМК Ті является отсутствие эндоэффекта при 882 °C, который наблюдается для порошка Ті ПТМ и обусловлен протеканием полиморфного превращения  $\alpha$ -Ti $\rightarrow \beta$ -Ti (рис. 4).



**Рис. 4.** Зависимости ДТА для компактного образца Ті СМК-2 (1) и промышленного порошка ПТМ (2) при линейном нагреве в воздухе ( $m_0$ =10 мг,  $v_i$ =10 К/мин,  $v_{\text{возв}}$ =100 мл/мин)

Наблюдаемый экзотермический эффект на ДТА в случае пластически деформированных образцов связан с протеканием рекристаллизационного процесса в металле, в ходе которого происходит снижение степени неравновесности СМК структуры, а также с параллельно протекающими процессами формирования твердых растворов кислорода в металле и рекристаллизации оксидного слоя [16]:

$$Ti \xrightarrow{\Delta H^{\circ} = -57,4 \text{ k/Дж/моль}} TiO_{0,1} \xrightarrow{} \dots$$

$$\xrightarrow{\Delta H^{\circ} = -57,4 \text{ k/Дж/моль}} TiO_{0,5},$$

 ${
m TiO}_{
m 2, aморф.}$  ightarrow  ${
m TiO}_{
m 2, aнатаз}$  ightarrow  ${
m TiO}_{
m 2, pythл}, \, \Delta H^{\circ}$  = -44,3 кДж/моль.

Из приведенных схем следует, что формирование  $\alpha$ -фазы с более высоким содержанием растворенного кислорода сопровождается значительным возрастанием тепловыделения. Относительный вклад этого процесса в общий тепловой поток превалирует

в сравнении с другими экзотермическими процессами, не сопровождающимися возрастанием массы образца, за счет перераспределения кислорода в металле в ходе рекристаллизации. При t > 750 °C на зависимостях ДТА для СМК-2 фиксируется понижение теплового потока за счет протекания эндотермических процессов, тогда как величина Одля ПТМ изменяется мало вплоть до температуры полиморфного превращения  $\alpha$ -Ті $\to \beta$ -Ті (рис. 4). Следовательно, при относительно большей начальной окисленности Ті с СМК структурой происходит формирование твердого раствора с таким содержанием кислорода, при котором происходит стабилизация  $\alpha$ -фазы (массовая доля кислорода >4 % [1]), переход в  $\beta$ -фазу замедляется и протекает в широком интервале  $\Delta t \approx 300^{\circ}$ (рис. 4). Подобный эффект зафиксирован в [18] при изучении твердофазных превращений в поверхностных слоях титана при нагревании.

Для оценки интенсивности процесса формирования твердых растворов Ti-O в ходе окисления порошкообразных образцов с K3 и CMK структурой в данном интервале температур был проведен расчет степени увеличения межплоскостных расстояний в  $\alpha$ -Ti из данных  $P\Phi A$  с использованием уравнения [17]:

$$d_{hkl} = \sqrt{\frac{1}{(h^2 + k^2 + hk) \left(\frac{2}{a\sqrt{3}}\right)^2 + l^2 \left(\frac{1}{c}\right)^2}},$$

где h, k, l — индексы граней, a и c — параметры решетки гексагональной структуры упорядочения  $Ti_2O$  (16,67 мас. % O) [1]. Сопоставление величин  $d_{hkl}$  для образцов с различной структурой (рис. 5) показывает, что наибольшее увеличение параметров решетки за счет образования твердых растворов Ti—O при равных температурах изотермической выдержки наблюдается для образца CMK-2.

Повышение температуры в интервале 600...700 °C способствует значительному увеличению интенсивности процесса растворения кислорода также и в образце КЗ (рис. 5,  $\delta$ ). Наибольшее смещение максимумов отражений, соответствующее возрастанию  $d_{nkl}$ , наблюдается для всех образцов при t=700 °C и в среднем составляет порядка 2% от этой величины для исходного КЗ Ті, что соответствует формированию твердого раствора с  $w(O) \approx 9.8\%$  (по составу приближается к  $Ti_3O$ ).

С целью установления влияния структуры Ті на особенности макрокинетического режима окисления порошкообразных образцов были исследованы закономерности протекания процесса в изотермических условиях в интервале 600...800 °C. На рис. 6 приведены зависимости прироста массы образцов Ті от времени для ряда температур. Из рисунка видно, что с уменьшением среднего размера зерна происходит увеличение скорости окисления образцов: при времени нагрева 1 ч величина  $\Delta m/m_0$  для СМК-2 превышает таковую для КЗ на ~8 %. Анализ изотермических данных с использованием метода приведенного времени показыва-

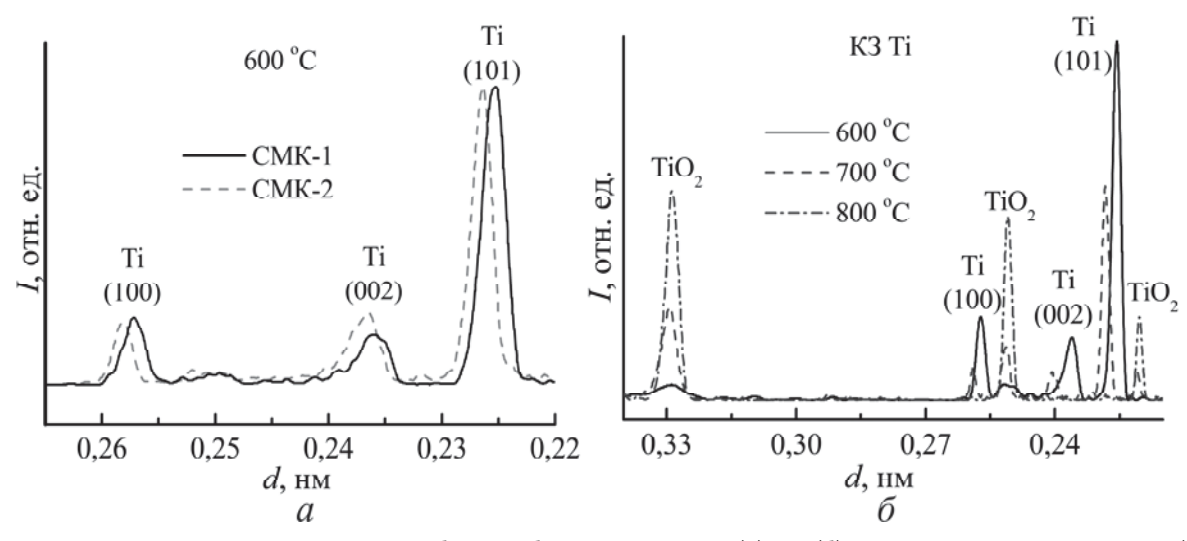
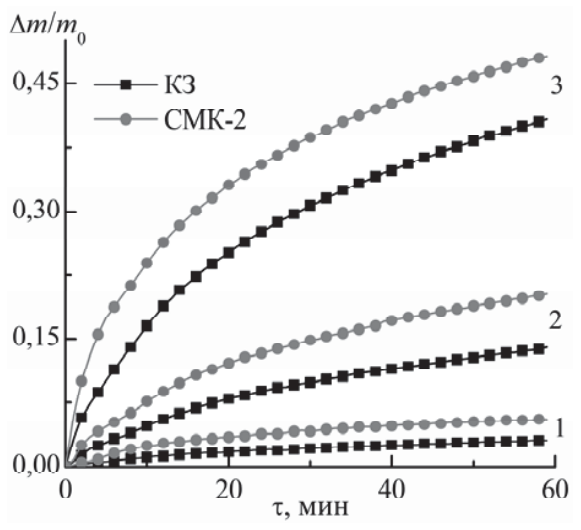


Рис. 5. Рентгенодифрактограммы порошкообразных образцов титана с СМК (а) и КЗ (б) структурой, прокаленных в воздухе (1ч)

ет, что процесс окисления K3 Ті в исследуемом интервале температур описывается параболической зависимостью  $(\Delta m/m_0)^2 = f(\tau)$ .

Наблюдаемая зависимость характерна для диффузионно-контролируемых процессов, сопровождающихся формированием на поверхности металла плотного сплошного оксидного слоя значительной толщины. Процесс окисления СМК образцов при  $t > 700\,^{\circ}$ С и времени нагрева  $\tau > 25\,$  мин отклоняется от параболического закона и приближается к кубическому. Изменение вида зависимости свидетельствует о формировании на поверхности частиц деформированных образцов в данном температурном интервале оксидного слоя с большей (по сравнению с КЗ) толщиной, а также о повышении роли диффузии кислорода в объем металла [2]. В ходе процесса в оксидном слое также возможно параллельное протекание рекристаллизации [11].



**Рис. 6.** Зависимости прироста массы порошкообразных КЗ и СМК-2 образцов титана от времени при температурах: 1) 600; 2) 700; 3) 800 °C (m₀=10 мг,  $v_{возп}$ =100 мл/мин)

Эффективную энергию активации процесса окисления определяли по зависимости  $\ln k_{\scriptscriptstyle \Pi} = f(1/T)$  с использованием изотермических данных. Кинетические параметры процесса окисления порошкообразных образцов Ті приведены в таблице. Из таблицы следует, что эффективные значения константы скорости  $k_{\scriptscriptstyle \Pi}$ , найденные путем аппроксимации экспериментальных данных с использованием уравнения  $\Delta m/m_0 = k_{\scriptscriptstyle \Pi} \tau^{1/2}$ , возрастают с уменьшением среднего размера зерна титана. При этом значения эффективной энергии активации  $E_{\scriptscriptstyle a}$  уменьшаются.

**Таблица.** Кинетические параметры процесса окисления порошкообразных образцов Ті в изотермических условиях ( $m_0$ =10 мг,  $v_{\tiny возn}$ =100 мл/мин)

Обра- зец	t, °C					Е
	600	650	700	750	800	E <sub>a</sub> ,
	<i>k</i> <sub>п</sub> ·10³, мин <sup>−1/2</sup>					кДж/моль
K3	0,02	0,10	0,30	1,0	3,0	192±3
CMK-1	0,03	0,13	0,50	1,2	3,8	189±3
CMK-2	0,06	0,20	0,70	2,0	5,5	173±3

Величины  $E_{a}$  для K3 и CMK-1 образцов титана близки к известной из литературы энергии активации (189 кДж/моль [2]), свойственной для диффузионного режима окисления. Судя по характеру зависимостей  $\Delta m/m_0 = f(\tau)$  (рис. 6) понижение активационного барьера процесса окисления в случае СМК-2 не связано с различием характеристик оксидного слоя, формирующегося на поверхности частиц образца в ходе реакции. Судя по данным РФА, в исследуемом температурном интервале все образцы окисляются до  $TiO_2$ -рутила (рис. 5,  $\delta$ ). Очевидно, что уменьшение  $E_{a}$  процесса взаимодействия с кислородом с увеличением степени напряженности структуры Ті обусловлено повышением диффузионной проницаемости металла за счет увеличения доли неравновесных границ и связанного с этим повышения коэффициента диффузии кислорода, стабилизирующего неравновесную СМК структуру до относительно высоких температур.

### Выводы

- Показано, что формирование субмикрокристаллической структуры титана ВТ1-0 в условиях интенсивной пластической деформации сопровождается возрастанием содержания растворенного в металле кислорода. Образование твердых растворов Ті—О способствует стабилизации неравновесной структуры металла и приводит к смещению полиморфного перехода α-Ті→β-Ті в область более высоких температур (>900 °C) вследствие повышения устойчивости α-фазы.
- 2. Установлено, что в условиях линейного нагрева в воздухе скорость прироста массы образцов

### СПИСОК ЛИТЕРАТУРЫ

- 1. Диаграммы состояния двойных металлических систем: Справочник. Т. 3. Кн. 1 / под общ. ред. Н.П. Лякишева. М.: Машиностроение, 2001. 872 с.
- Кубашевский О., Гопкинс Б. Окисление металлов и сплавов. М.: Металлургия, 1965. – 428 с.
- Vaquila I., Vergara L., Passeggi M.C.G. Jr., et al. Chemical reactions at surfaces: titanium oxidation // Surface and Coatings Technology. – 1999. – V. 122. – № 1. – P. 67–71.
- Чапланов А.М., Шибко А.Н. Влияние лазерного излучения на кинетику окисления пленок титана при термической обработке // Квантовая электроника. – 1993. – Т. 20. – № 2. – С. 191–193.
- Войтович Р.Ф., Головко Э.И. Высокотемпературное окисление титана и его сплавов. – Киев: Наукова думка, 1984. – 256 с.
- Bertrand G., Jarraya K., Chaix J. Morphology of oxide scales formed on titanium // Oxidation of Metals. – 1983. – V. 2. – № 1/2. – P. 1–19.
- Lopes Gomes J., Huntzt A. Correlation between the oxidation mechanism of titanium under a pure oxygen atmosphere, morphology of the oxide scale, and diffusional phenomena // Oxidation of Metals. – 1980. – V. 14. – № 3. – P. 249–261.
- Unnam J., Shenoy R., Clark R. Oxidation of commercial purity titanium // Oxidation of Metals. 1986. V. 26. № 3/4. P. 231–252.
- Kumar S., Narayanan S., Raman S., Seshadri S. Thermal oxidation of CP Ti – an electrochemical and structural characterization // Materials Characterization. – 2010. – V. 61. – № 6. – P. 589–597.

- субмикрокристаллического Ті в ходе окисления изменяется немонотонно за счет совокупного влияния неоднородного роста зерен и неравномерного окисления зерен различного размера с различной степенью дефектности.
- 3. По результатам изучения кинетики окисления субмикрокристаллического Ті в изотермических условиях в интервале 600...800 °С показано, что скорость процесса описывается параболической зависимостью, реакция протекает в диффузионном режиме. Понижение энергии активации процесса окисления Ті при уменьшении размеров зёрен и увеличении степени неравновесности границ обусловлено повышением диффузионной проницаемости металла.

Работа выполнена при финансовой поддержке проектов CO PAH № III.20.2.2 и № 7.2.

- Gemelli E., Camargo N. Oxidation kinetics of commercially pure titanium // Revista Matéria. 2007. V.12. № 3. P. 525–531.
- Хауффе К. Реакции в твердых телах и на их поверхности.
   Ч. 2. М.: Издатинлит, 1963. 276 с.
- Pe'rez P. Influence of nitriding on the oxidation behaviour of titanium // Surface & Coatings Technology. 2005. V. 191. № 2/3. P. 293–302.
- 13. Hanrahan R.J. Jr., Butt D.P. The effects of nitrogen on the kinetics and mechanisms of oxidation of titanium-tantalum alloys // Oxidation of Metals. 1997. V. 48. № 1/2. P. 41–58.
- Способ получения титановых сплавов с субмикрокристаллической структурой деформированием с обеспечением интенсивной пластической деформации: пат. 2388566 Рос. Федерация; заявл. 22.07.2008; опубл. 10.05.2010; Бюл. № 13.
- Рябцев А.Д., Давыдов С.И., Троянский А.А. и др. Получение титана повышенной прочности путем легирования кислородом в процессе камерного электрошлакового переплава // Современная электрометаллургия. – 2007. – № 3. – С. 3–6.
- Самсонов Г.В., Борисова А.Л., Жидкова Т.Г. и др. Физико-химические свойства окислов. – М.: Металлургия, 1978. – 472 с.
- Шаскольская М.П. Кристаллография. М.: Высшая школа, 1984. – 376 с.
- Бровко А.П., Бекман И.Н. Исследование твердофазных превращений в поверхностных слоях титана // Известия АН СССР. Серия «Металлы». 1982. № 1. С. 95–98.

Поступила 01.06.2011 г.